

## КРАТКИЕ СООБЩЕНИЯ

02

Журнал технической физики, т. 60, в. 5, 1990

© 1990 г.

### ИССЛЕДОВАНИЕ СВОЙСТВА КОГЕРЕНТНОСТИ ПАРАМЕТРИЧЕСКОГО ИЗЛУЧЕНИЯ

*В. Л. Мороховский, А. В. Щагин*

Излучение быстрой заряженной частицы, движущейся через среду с периодически изменяющейся диэлектрической проницаемостью, было рассмотрено в работе [1] и названо параметрическим. Свойства этого излучения применительно к кристаллам исследовались в ряде теоретических работ [2–6]. В последние годы начаты экспериментальные исследования рентгеновского излучения, генерируемого релятивистскими электронами в кристаллах в области угла Брэгга (см., например, [7–11]). Следует отметить, что регистрируемое в экспериментах под углом Брэгга квазимонохроматичное рентгеновское излучение в принципе может быть как параметрическим, так и результатом брэгговской дифракции в кристалле некогерентного тормозного излучения, потому что их энергии в этом случае практически одинаковы. Настоящая работа посвящена выяснению природы регистрируемого в [8, 9] квазимонохроматичного рентгеновского излучения.

Как следует из теоретических работ, параметрическое рентгеновское излучение (ПРИ) является когерентным излучением. Рассмотрим угловую зависимость энергии когерентного излучения (КИ), генерируемого релятивистским электроном, движущимся прямолинейно и равномерно в кристалле. Для генерации КИ, распространяющегося под произвольным углом  $\Theta$  относительно направления движения электрона, необходимо, чтобы разность фаз излучения, производимого электроном при периодическом пересечении кристаллографических плоскостей, была равна  $2\pi n$  (условие конструктивной интерференции)

$$\frac{\omega}{c} \left( \frac{c}{v} \frac{d}{\sin \varphi} - \frac{d}{\sin \varphi} \cos \Theta \right) = 2\pi n, \quad (1)$$

где  $c$  — скорость света,  $v$  — скорость электрона,  $n$  — целое число,  $\varphi$  — угол между плоскостями и вектором скорости электрона,  $d$  — межплоскостное расстояние, коэффициент преломления в рентгеновском и  $\gamma$ -диапазонах здесь и далее принят равным единице. Решение уравнения (1) для энергии первой гармоники КИ, распространяющегося в направлении единичного вектора  $\Omega$ ,

$$E_\gamma = \frac{c\hbar |g| v}{c - v\Omega}, \quad (2)$$

где  $|g| = 2\pi/d$ , описывает зависимость энергии КИ  $E_\gamma = \hbar\omega$  от углов  $\varphi$ ,  $\Theta$ .

Такое же решение (при  $E \gg \hbar\omega$ ,  $c\hbar g$ ) имеет систему уравнений, описывающих<sup>1</sup> законы сохранения энергии и импульса при КИ,

$$E = E_1 + \hbar\omega, \quad P = P_1 + k + \hbar g, \quad (3)$$

где  $E$ ,  $P$ ,  $E_1$ ,  $P_1$  — энергии и импульсы электрона до и после излучения фотона с энергией  $\hbar\omega$  и импульсом  $k$ ,  $g$  — вектор обратной решетки.

В системе уравнений (3) когерентность излучения связана с передачей кристаллу как целому квантованного импульса  $\hbar g$ . Таким образом, волновой (1) и корпускулярный (3) подходы в данном случае приводят к однаковому результату [2]. Следует отметить, что связь между углами и энергией КИ, описываемая формулой (2), не зависит от конкретных механизмов излучения. Например, в случае излучения под углами  $\sim mc^2/E$  эта формула описывает энергию когерентного тормозного излучения, что было проверено во многих экспе-

риментальных работах [12, 13]. Такой же формулой, согласно [2], должна описываться энергия ПРИ, генерируемого под углами  $> mc^2/E$ . В настоящей работе исследуются полученные в экспериментах [8, 9] угловые зависимости энергии квазимонохроматического рентгеновского излучения в области углов, где интенсивность ПРИ достигает максимальных значений.

Эксперименты были выполнены на линейных ускорителях электронов ХФТИ ЛУЭ-40 [8] и ЛУЭ-2 [9]. В каждом эксперименте излучение регистрировалось с помощью детектора, установленного под фиксированным углом  $\theta$  относительно оси пучка. Мишень, вырезанная из монокристалла Si в виде плоскопараллельной пластины, плоскость которой параллельна кристаллографической плоскости  $(\bar{1}10)$ , предварительно ориентировалась так, чтобы  $\langle \bar{1}10 \rangle \parallel P$ , а один из векторов обратной решетки  $g$  находился в плоскости регистрации излучения ( $\Phi=0$ ). Измерения спектров излучения проводились при различных ориентациях мишени, осуществляемых путем поворота мишени на угол  $\Phi$  вокруг оси, перпендикулярной плоскости регистрации. Вблизи ориентации  $\Phi \sim \theta/2$  интенсивность ПРИ достигала максимальных значений, а при значительной разориентации кристалла спадала до нуля.

13.3 КэВ

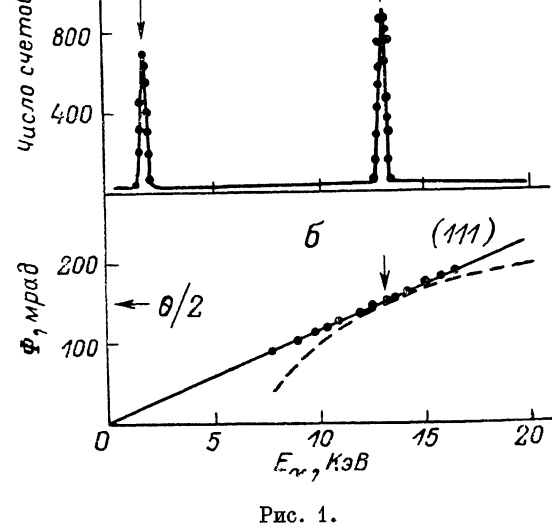


Рис. 1.

Эксперимент [8] был выполнен при энергии электронов пучка  $E=24$  МэВ. Толщина мишени-монокристалла 240 мкм, в плоскости регистрации находился  $g=\langle 111 \rangle$ . Под углом  $\theta=298.4$  мрад располагался рентгеновский детектор типа БДЭР-II-25А с угловой апертурой  $\sim 1$  мрад. Результаты эксперимента показаны на рис. 1.

Эксперимент [9] был выполнен при  $E=1200$  МэВ. Толщина мишени — монокристалла 50 мкм,  $g=\langle 220 \rangle$ . Под углом  $\theta=17.88$  мрад располагался детектор типа ДГДК-50А1 с угловой апертурой  $6 \cdot 10^{-4}$  рад. Результаты эксперимента показаны на рис. 2.

На рис. 1, а приведен типичный спектр рентгеновского излучения, измеренный на ЛУЭ-40 [8] при  $\Phi=\theta/2$ . Пик при энергии 1.8 кэВ обусловлен характеристическим излучением атомов мишени, его положение и интенсивность не меняются при изменении ориентации мишени. Второй пик обусловлен параметрическим излучением, связанным с вектором обратной решетки  $\langle 111 \rangle$ , лежащим в плоскости регистрации. Ширины пиков на полуысоте составляют 276 и 362 эВ соответственно, что близко к разрешению спектрометра при соответствующих энергиях. Положение (энергия) пика ПРИ плавно изменяется при изменении угла  $\Phi$ . Полученная в эксперименте зависимость энергии пика ПРИ от ориентации мишени показана точками на рис. 1, б.

На рис. 2, а, б представлены некоторые спектры жесткого рентгеновского излучения, измеренные при различных ориентациях мишени на ускорителе ЛУЭ-2 [9]. Правый пик в спектрах обусловлен ПРИ, связанным с вектором обратной решетки  $\langle 220 \rangle$ , лежащим в плоскости регистрации, а левый — ПРИ, связанным с двумя векторами обратной решетки  $\langle 111 \rangle$  и  $\langle \bar{1}\bar{1}\bar{1} \rangle$ , расположенным симметрично относительно плоскости регистрации. Полученные в эксперименте зависимости энергий пиков ПРИ от ориентации мишени показаны точками на рис. 2, в. Сплошными линиями на рис. 1, б, 2, в обозначены результаты расчетов по фор-

мule (2). Имеет место согласие экспериментальных данных с расчетом энергии КИ, что свидетельствует о когерентности наблюдаемого излучения. Если бы в экспериментах наблюдалась брэгговская дифракция в кристалле тормозного излучения, производимого электронами пучка в деталях конструкции ускорителя и в самой мишени, то в спектрах был бы зарегистрирован пик с энергией, равной брэгговской энергии в направлении регистрации  $\Omega$

$$E_B = \frac{c\hbar |g|^2}{2|g\Omega|}, \quad (4)$$

где  $g$  — вектор обратной решетки.

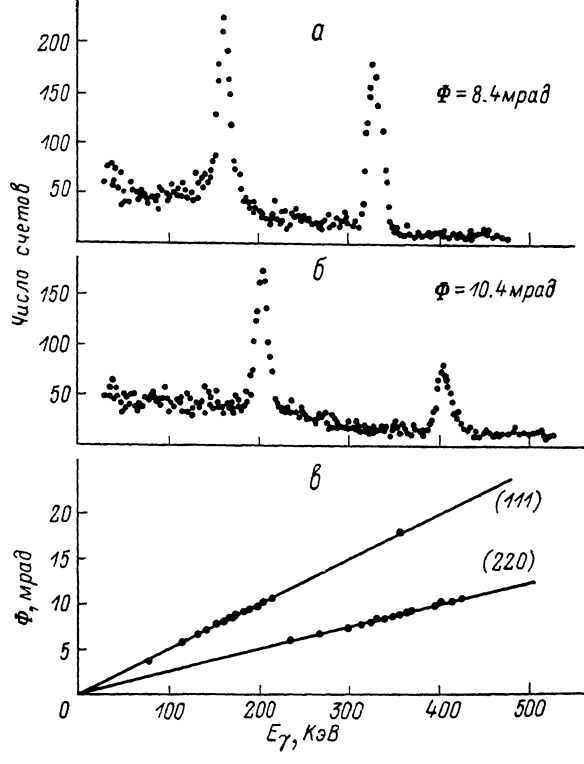


Рис. 2.

Результаты расчета по формуле (4) для  $g=\langle 111 \rangle$  приведены на рис. 1, б штриховой линией. Отдельный пик с энергией  $E_B$  в спектрах [8] не наблюдался, что свидетельствует о малости вклада в спектр излучения, обусловленного дифракцией в мишени тормозного излучения.

Таким образом, наблюдавшееся в экспериментах [8] плавно перестраиваемое по частоте квазимонохроматичное рентгеновское излучение электронов в кристаллах является когерентным, что характерно для ПРИ.

Выражаем благодарность соавторам работ [8-9] за помощь в подготовке и проведении экспериментов.

#### Список литературы

- [1] Файнберг Я. Б., Хижняк Н. А. // ЖЭТФ. 1957. Т. 32. Вып. 4. С. 883—895.
- [2] Тер-Микаелян М. Л. Влияние среды на электромагнитные процессы при высоких энергиях. Ереван, Изд-во АН АрмССР, 1969. 457 с.
- [3] Барышевский В. Г., Феранчук И. Д. // ЖЭТФ. 1971. Т. 61. Вып. 3 (9). С. 944—948.
- [4] Гарibyan Г. М., Ян Ши // ЖЭТФ. 1971. Т. 61. Вып. 3 (9). С. 930—943.
- [5] Афанасьев А. М., Азигян М. А. // ЖЭТФ. 1978. Т. 74. Вып. 2. С. 570—579
- [6] Dialetis D. // Phys. Rev. A. 1978. Vol. 17. N 3. P. 1113—1122.
- [7] Adishchev Yu. N., Didenko A. N., Mun V. V. et al. // Nucl. Instr. Meth. Phys. Rea. 1987. Vol. B21. P. 49—55.
- [8] Адейшили Д. И., Блажевич С. В., Бочек Г. Л. и др. // Тез. докл. XVII Всесоюз. совещания по физике взаимодействия заряженных частиц с кристаллами. М., 1987. С. 75.
- [9] Адейшили Д. И., Блажевич С. В., Бочек Г. Л. и др. // Там же. С. 76.

- [10] Адайшвили Д. И., Блажевич С. В., Болдышев В. Ф. и др. // ДАН СССР. 1988. Т. 298. № 4. С. 844—846.
- [11] Авакян Р. О., Аветисян А. Э., Адищев Ю. Н. и др. // Письма в ЖЭТФ. 1987. Т. 45. Вып. 6. С. 313—316.
- [12] Diambrini-Palazzi R. // Rev. Mod. Phys. 1968. Vol. 40. N 3. P. 611—631.
- [13] Watson J. E., Koehler J. // Phys. Rev. B. 1982. Vol. 25. N 5. P. 3079—3090.

Харьковский физико-технический  
институт АН УССР

Поступило в Редакцию

6 июня 1988 г.

В окончательной редакции  
26 декабря 1989 г.

01; 05

Журнал технической физики, т. 60, в. 5, 1990

© 1990 г.

## АНАЛИЗ ПОТОКОВ ЭНЕРГИИ МАГНИТОСТАТИЧЕСКИХ ВОЛН В ФЕРРОМАГНИТНОМ СЛОЕ С УЧЕТОМ ЗАПАЗДЫВАНИЯ

Я. Д. Головко, И. В. Зависляк, Т. В. Нужный

### Введение

В последнее время повысился интерес к изучению магнитостатических волн (МСВ) с учетом эффектов запаздывания. Однако наряду с большим количеством работ, в которых рассматривались дисперсионные свойства волн [1—7], относительно мало внимания уделялось точному анализу энергетических характеристик МСВ. Между тем такой анализ необходим, поскольку использование магнитостатического приближения (МП) для этих целей [8, 9] привело к некоторым результатам, не получившим приемлемой физической интерпретации. В [6] показано, что все противоречия исчезают, если учитывать эффекты запаздывания, и сделан вывод о принципиальной неприменимости МП для исследования потоков энергии МСВ.

В настоящей работе для всех основных типов МСВ в свободном ферромагнитном слое вычисляются согласно определению [10] и анализируются компоненты вектора Умова—Пойнтинга

$$P = \frac{c}{8\pi} \operatorname{Re} [e \times h^*], \quad (1)$$

где  $e$  и  $h$  — динамические составляющие электрического и магнитного полей,  $c$  — скорость света.

### 1. Прямые объемные МСВ (ПОМСВ)

Рассмотрим изотропный ферромагнитный слой, намагниченный до насыщения полем  $H_0$  вдоль нормали к его поверхности. Координатная ось  $OZ$  параллельна  $H_0$ , оси  $OX$  и  $OY$  лежат в плоскости слоя. Решая полную систему уравнений Maxwella с электродинамическими граничными условиями, можно получить независимые дисперсионные соотношения для четных и нечетных собственных электромагнитных волн (ЭМВ) слоя (четность будем определять по компоненте  $h_y$ ) в виде

$$D_1(z_1) D_2(z_2) D_3(z_2) - D_1(z_2) D_2(z_1) D_3(z_1) = 0, \quad (2)$$

где для четных волн

$$D_1(z_m) = \sigma z_m \operatorname{sh} \frac{z_m S}{2} + (k^2 - k_0^2 \epsilon) \operatorname{ch} \frac{z_m S}{2},$$

$$D_2(z_m) = z_m \operatorname{sh} \frac{z_m S}{2} + \epsilon \sigma \operatorname{ch} \frac{z_m S}{2}, \quad (3)$$

для нечетных волн  $D_1(z_m)$ ,  $D_2(z_m)$  имеют такой же вид, но с учетом замены  $\operatorname{sh} \leftrightarrow \operatorname{ch}$

$$D_3(z_m) = z_m^2 - \mu(k^2 - k_0^2 \epsilon), \quad m = 1, 2; \quad z_{1,2} = \sqrt{b_1^2 \pm \sqrt{b_1^2 - b_2}}, \quad (4)$$

$$2b_1 = k^2(1 + \mu) - 2k_0^2 \epsilon \mu, \quad b_2 = (k^2 - k_0^2 \epsilon)(\mu k^2 + (\mu_a^2 - \mu^2) k_0^2 \epsilon),$$

$$\mu = \frac{\omega^2 - \omega_1^2}{\omega^2 - \omega_H^2}, \quad \mu_a = \frac{\omega \omega_M}{\omega^2 - \omega_H^2}, \quad \omega_1^2 = \omega_H(\omega_H + \omega_M), \quad \omega_M = \gamma 4\pi M,$$